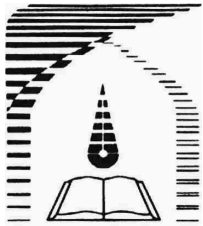


لَنْ يَرْجِعُ الْمُنْذَرُ



دانشگاه تربیت مدرس

دانشکده کشاورزی

پایان نامه دوره‌ی کارشناسی ارشد مهندسی سازه‌های آبی

شبیه سازی انتقال رسواب پشت موج شکن با هدف مقایسه نرم افزار ایرانی PMO (مطالعه موردی: موج شکن بندر انزلی) و MIKE 21 Dynamics

الهام جعفرزاده

استاد راهنمای

دکتر سید علی ایوب زاده

دکتر مسعود منتظری نمین

استاد مشاور

دکتر اصغر بهلوانی

زمستان 1392

بِسْمِ اللَّهِ الرَّحْمَنِ الرَّحِيمِ

إِنَّا أَعْطَيْنَاكَ الْكَوْنَىٰ ﴿١﴾ فَصَلِّ لِرَبِّكَ وَأَنْحِسْ ﴿٢﴾ إِنْ شَانِئَكَ هُوَ الْأَبْيَضُ ﴿٣﴾

تقديمه

دلیل بناسدن آسمان، گستردن زمین، تابان گشتن ماه

درخشیدن خورشید، چرخان شدن فلك و روان شدن دریا

مادرم فاطمه زهرا سلام الله عليها

ستایش خداوندی را سزا دارد که صفتی بر صفت دیگرش پیش نگرفت متابتوان  
گفت 'پیش از آنکه آخر باشد اول است و قبل از آنکه باطن باشد ظاهر است' هر  
واحدی و تنها یه جزو اند که است و هر عزیزی جزو اندلیل و هر نیرومندی جزو  
ضعیف و ناقوان و هر مالکی جزو بند و هر عالمی جزو اندش آموز

امیر المؤمنین علی (ع)

نهج البالغین حعلیه 65

بر خود واجب می دانم از اساتید محترم راهنمای جناب آقای دکتر سید علی ایوب زاده و جناب آقای دکتر مسعود منتظری نمین که مرا در این راه یاری نمودند تشکر و قدردانی نمایم.

با سپاس و تقدیر فراوان از راهنمایی های ارزشمند و رهگشای جناب آقای دکتر اصغر بهلوی که همکاری صمیمانه ای در طی مراحل این پایان نامه داشتند و از هیچ کمکی به این جانب دریغ نفرموده و با سعه صدر در رفع مشکلات پیش آمده یاری نمودند.

از اساتید محترم جناب آقای دکتر مرتضی کلاهدوزان و دکتر مهدی مظاہری که قبول زحمت فرمودند و داوری پایان نامه را بعهده گرفتند صمیمانه تشکر می نمایم.

بر خود لازم می دانم که از زحمات و دلسوزی های پدر و مادر مهربانم که در تمام مراحل زندگی مرا یاری نموده و همواره وجودشان نعمت، دعا یشان برکت، یاری شان تکیه گاه محکم و نصایح شان چراغ راه من در طول زندگی است، خاضعانه تشکر و قدردانی نمایم.

و برادر عزیزم را سپاس می گویم که همواره پشتیبانم بود و یاریم نمود.

الهام جعفرزاده

زمستان 1392

## چکیده

سازه های دریایی به دلیل اهمیت راهبردی حمل و نقل دریایی از جمله کلیدی ترین بناها، در مجموعه ساخت و ساز کشوری می باشند. بشر با احداث بنادر و سازه های ساحلی در حقیقت باعث تغییر در الگوی جریانات ساحلی و به تبع آن تغییر در الگوی رسواب گذاری می شود. به واسطه جابجایی رسوبات ساحلی، مسئله رسواب گذاری سواحل و فرسایش در سواحل مطرح می گردد که هر یک از این پدیده ها، کاربری تأسیسات و سازه های ساخته شده در دریا را می تواند با مشکل مواجه نماید. موج شکن ها سازه های دیواره ای شکلی هستند که با استهلاک انرژی امواج، حوضچه آرامشی در سمت ساحلی خود ایجاد می نمایند و از بنادر و سواحل در مقابل امواج و جریان های ساحلی محافظت می کنند. در این تحقیق مسئله رسواب گذاری پشت موج شکن های انزلی به وسیله دو مدل هیدرولیکی 21 و MIKE و PMO Dynamics (Persian Modeling for Ocean Dynamics) مدل ایرانی از انواع مدل های دوبعدی در صفحه افق است و هدف از انجام این تحقیق شبیه سازی انتقال رسواب پشت موج شکن و مقایسه عملکرد یا برآورد کارایی مدل ریاضی ایرانی PMODynamics در مقابل مدل هیدرولیکی 21 MIKE و اندازه گیری های میدانی است. ضرورت توسعه این مدل از این جهت است که مدل های تجاری و غیر تجاری خارجی الزاماً نمی توانند در مطالعات دریا و سواحل جوابگوی همه نیازهای داخلی باشند. با توجه به اهمیت بندر انزلی و انتقال رسواب پشت موج شکن ها به منظور شناسایی دقیق فرآیندهای هیدرودینامیک و انتقال رسواب، با استفاده از اندازه گیری های میدانی و شبیه سازی عددی، مطالعات دقیقی در محدوده موج شکن ها به انجام رسیده است. در این تحقیق ابتدا امواج آب عمیق به آب کم عمق انتقال داده شده و سپس تنش های شعاعی حاصل از این مدل سازی به عنوان ورودی در مدل جریان وارد شده و پس از آن میزان رسواب انتقال یافته برآورد شد. این مراحل در هر دو نرم افزار انجام شده و در هر مرحله نتایج دو مدل مقایسه گردید و همبستگی حدود 90 درصد بین نتایج مدل ایرانی و مدل 21 MIKE نشان داد نرم افزار ایرانی PMO Dynamics در برآورد مقادیر جریان و رسواب حاصل از امواج دارای عملکرد مناسبی بوده و لذا می توان آن را به عنوان جایگزین مدل های رایج تجاری همچون MIKE21 توصیه نمود.

کلید واژه: PMO Dynamics, MIKE21، بندر انزلی، رسواب، موج شکن

## فهرست

1.....	کلیات.....	-1	فصل 1
2.....	مقدمه .....	-1-1	
3.....	ضرورت تحقیق .....	-2-1	
4.....	اهداف تحقیق .....	-3-1	
4.....	روش و محدوده تحقیق .....	-4-1	
6.....	نحوه تدوین تحقیق .....	-5-1	
7.....	مروری بر مفاهیم و منابع .....	-2	فصل 2
8.....	مقدمه .....	-1-2	
8.....	موج شکن .....	-2-2	
8.....	تئوری انتقال رسوب .....	-3-2	
8.....	علل انتقال رسوبی در سواحل .....	-1-3-2	
10.....	انتقال رسوبات به موازات ساحل .....	-2-3-2	
11.....	محاسبه انتقال رسوب به موازات ساحل .....	-3-3-2	
14.....	محاسبه انتقال رسوب عمود بر ساحل .....	-4-3-2	
15.....	عوامل موثر در انتقال رسوب عمود بر ساحل .....	-1-4-3-2	
15.....	سایر فرمول های انتقال رسوب .....	-5-3-2	
17.....	معیارهای شروع حرکت رسوبات به صورت لایه ای .....	-6-3-2	
19.....	انتقال رسوب در جریان های لایه ای (Sheet- Flow) .....	-7-3-2	
20.....	رابطه های محاسبه انتقال رسوب امواج در جریان های لایه ای .....	-8-3-2	

22	نحوه انتقال رسوب در جریان‌های لایه‌ای	-9-3-2
22	نیروهای عمل کننده در کرانه ساحلی (near shore)	-10-3-2
25	مدل‌های ریاضی موجود در انتقال رسوبات ساحلی	-11-3-2
25	روش‌های عددی محاسبه تغییر شکل بستر ساحل	-12-3-2
26	تحقیقات و مطالعات انجام شده با استفاده از مدل ریاضی MIKE21	-4-2
34	تحقیقات و مطالعات انجام شده با استفاده از مدل ریاضی PMO Dynamics	-5-2
34	جمع بندی	-6-2
<b>35</b>	<b>تشریح مدل‌های MIKE21 و PMO Dynamics</b>	<b>-3</b>
36	مقدمه	-1-3
36	مدل ریاضی PMO Dynamics	-2-3
37	مدل موج طیفی (SW) , PMO Dynamics	-1-2-3
39	معادلات به کار رفته در مدل موج	-1-1-2-3
39	معادله بیلان عمل موج	-2-1-2-3
40	چشممه - چاهها	-3-1-2-3
40	اثر چرخک‌های سطحی	-4-1-2-3
41	اثر اصطکاک	-5-1-2-3
42	اثر شکست موج	-6-1-2-3
42	اثر اندرکنش سه تایی امواج	-7-1-2-3
44	اثر اندرکنش چهارتایی امواج	-8-1-2-3
45	طراحی شبکه محاسباتی	-9-1-2-3
46	طراحی شبکه محاسباتی برای فضای طیفی	-10-1-2-3
46	روش عددی	-11-1-2-3

47	مرحله انتقال	-1-2-1-2-3
50	شرایط مرزی	-1-2-1-3
51	شرایط اولیه	-1-2-1-4
52	مدل هیدرودینامیک (HD) , PMO Dynamics	-2-2-2-3
52	انتخاب معادلات حاکم بر جریان دو بعدی	-3-2-2-1
54	انتخاب و طراحی شبکه محاسباتی	-3-2-2-2
55	انتخاب روش حل عددی معادلات	-3-2-2-3
55	حل معادلات با استفاده از حل تقریبیتابع ریمان با استفاده از روش Roe	
55	نحوه محاسبه نیروهای کالبدی	-3-2-2-4
56	محاسبه تنش بستر	-3-2-2-5
56	محاسبه نیروی کوریولیس	-3-2-2-6
56	نحوه محاسبه تنش باد	-3-2-2-7
57	محاسبه لزجت آشفتگی	-3-2-2-8
58	شرایط مرزی جریان	-3-2-2-9
59	اطلاعات ورودی مدل برای شبیه‌سازی	-3-2-2-10
60	اطلاعات خروجی مدل	-3-2-2-11
60	قابلیت‌های مهم مدل	-3-2-2-12
61	انتخاب عدد کورانت مناسب	-3-2-2-13
62	مدل رسوب (ST) , PMO Dynamics	-3-2-3
63	معادلات حاکم بر انتقال رسوب	-3-3-2-1
63	تعیین ظرفیت حمل رسوب	-3-3-2-2
68	معادله انتقال انتشار	-3-3-2-3

68	معادله تغییرات تراز بستر	-4-3-2-3
70	شرایط مرزی رسوب	-5-3-2-3
70	اطلاعات ورودی مدل برای شبیه‌سازی رسوب	-6-3-2-3
71	اطلاعات خروجی مدل	-7-3-2-3
71	مدل ریاضی MIKE21	-3-3
76	مدل موج طیفی (SW) , MIKE21	-1-3-3
81	معادلات به کار رفته در مدول SW	-1-1-3-3
83	مدل هیدرودینامیک (HD) , MIKE21	-2-3-3
84	مطالعات به کار رفته در مدول HD	-1-2-3-3
85	وجود چشممه و چاه در مدل	-2-2-3-3
86	مرز خشکی متغیر	-3-2-3-3
86	ویسکوزیته چرخشی	-4-2-3-3
87	ضریب زبری بستر	-5-2-3-3
88	بازه زمانی شبیه سازی پدیده	-6-2-3-3
88	پایداری مدل	-7-2-3-3
89	مدل رسوب (ST) , MIKE21	-3-3-3
90	نوع رسوبات در منطقه	-1-3-3-3
90	معرفی اجمالی مدول ST مدل ریاضی MIKE21	-2-3-3-3
90	داده های ورودی مدول ST مدل ریاضی MIKE21	-3-3-3-3
91	جمع بندی	-4-3
<b>93</b>	<b>مواد و روش ها</b>	<b>-4</b>
94	مقدمه	-1-4

94	شرح منطقه	-2-4
94	شناخت خصوصیات رسویی و مورفودینامیک منطقه	-1-2-4
95	تالاب انزلی	-1-1-2-4
95	آبراهه‌ها، روگاه‌ها	-2-1-2-4
95	محدوده بندر	-3-1-2-4
95	موج شکن‌های انزلی	-2-2-4
96	موج شکن‌های شرق و غرب جدید	-1-2-2-4
97	محدوده دریابی اطراف بندر	-3-2-4
98	اطلاعات مورد استفاده	-3-4
98	شناخت اقلیم موج منطقه	-1-3-4
98	محاسبه مشخصات موج منطقه	-2-3-4
100	داده‌های بویه موج نگار و جریان سنج	-3-3-4
102	داده‌های موج	-4-3-4
103	آمار بویه‌ی موجنگار سازمان بنادر و کشتیرانی (PSO)	-1-4-3-4
103	آمار موج ثبت شده توسط مرکز تحقیقات آب (WRC)	-2-4-3-4
103	نتایج پژوهشی «مدل سازی امواج دریاهای ایران» - ISWM	-3-4-3-4
105	ارتفاع موج مشخصه انزلی	-5-3-4
105	اطلاعات رسوی بندر انزلی	-6-3-4
105	هیدروگرافی بستر دریا	-7-3-4
106	جمع‌بندی اطلاعات	-4-4
107	طراحی مدل‌های ریاضی PMO Dynamics , MIKE21	-5-4
107	برپایی مدل‌ها	-1-5-4

107	تهیه فایل عمق نگاشت	-2-5-4
109	کنترل استقلال نتایج از مش	-3-5-4
110	آنالیز حساسیت	-4-5-4
110	واسنجی مدل	-5-5-4
112	شرایط مرزی	-6-5-4
113	شرایط اولیه	-7-5-4
113	تعیین گام زمانی حل معادلات	-8-5-4
114	طراحی مدول SW	-9-5-4
115	طراحی مدول HD	-10-5-4
116	طراحی مدول ST	-11-5-4
116	اجرای مدل‌ها و فهرست سناریو‌های مورد مطالعه	-6-4
118	نحوه مقایسه بین نتایج مدل‌های عددی با یکدیگر و اندازه گیری‌های میدانی	-7-4
120	روش برآورد میزان رسوبات بندر انزلی توسط نرم افزار GIS	-8-4
121	روش اجرای نرم افزار GIS در تغییرات خط ساحلی و بار رسوبی	-1-8-4
123	جمع بندی	-9-4
<b>124</b>	<b>نتایج و بحث</b>	<b>-5</b>
125	نتایج مدل PMO Dynamics در مورد مسائل شکست هیدرولیکی سد	-1-5
130	نتایج مدل PMO Dynamics در مورد انتقال امواج	-2-5
130	نتایج مدل PMO Dynamics در مقایسه با داده‌های اندازه گیری شده امواج در موقعیت ADCP	-1-2-5
131	نتایج مدل PMO Dynamics در مقایسه با مدل MIKE21 در مورد انتقال امواج در موقعیت ADCP	-2-2-5
133	نتایج مدل PMO Dynamics در مقایسه با مدل MIKE21 در مورد انتقال امواج در عمق 5 متری	-3-2-5
134	نتایج مدل PMO Dynamics در مقایسه با مدل MIKE21 در مورد انتقال امواج در عمق 10 متری	-4-2-5

135	نمایش کانتور و وکتور پلات برای دو مدل PMO Dynamics و مدل MIKE21	-5-2-5
137	نتایج پارامتر های آماری در مورد انتقال امواج در دو مدل PMO Dynamics و MIKE21	-6-2-5
137	نتایج مدل PMO Dynamics در مورد شبیه سازی پارامترهای جریان	-3-5
138	نتایج مدل PMO Dynamics در مقایسه با مدل MIKE21 در مورد جریان حاصل از موج فرضی 2 متر	-1-3-5
139	نتایج مدل PMO Dynamics در مقایسه با مدل MIKE21 در مورد جریان حاصل از امواج منطقه	-2-3-5
156	مقایسه آماری نتایج نرم افزار PMO Dynamics و MIKE21 در مورد پارامتر های جریان	-3-3-5
156	تحلیل نتایج شبیه سازی جریان حاصل از امواج مختلف	-4-3-5
157	نتایج مدل PMO Dynamics در مقایسه با مدل MIKE21 در مورد انتقال رسوب	-4-5
165	پارامتر های آماری شبیه سازی انتقال رسوب	-1-4-5
165	تحلیل نتایج شبیه سازی رسوب حاصل از امواج مختلف	-2-4-5
168	نتایج تحلیل تصاویر ماهواره ای جهت برآورد رسوب بدر انزلی	-5-5
173	مقایسه نتایج نرم افزار GIS و مدل LITPACK	-6-5
<b>175</b>	<b>نتیجه گیری و پیشنهادات</b>	<b>فصل 6</b>
176	نتیجه گیری	-1-6
177	پیشنهادات	-2-6
180	واژه‌نامه انگلیسی به فارسی	
182	فهرست مراجع	

## فهرست جداول‌ها

صفحه	عنوان
65	جدول 1-3 کمیت‌های رابطه بار بستر
66	جدول 2-3 کمیت‌های رابطه بار معلق
97	جدول 1-4 مشخصات بندر انزلی
99	جدول 2-4 زمان تناوب ارتفاع موج آب عمیق 25 ساله بندر انزلی
102	جدول 3-4 درصد فراوانی ارتفاع امواج بویه‌ی موج نگار انزلی
102	جدول 4-4 درصد فراوانی امواج بویه‌ی موج نگار در جهت‌های مختلف
102	جدول 5-4 بلندترین و فراوان ترین ارتفاع موج در جهت‌های مختلف
106	جدول 6-4 مجموعه‌ی اطلاعات هیدروگرافی موجود
111	جدول 7-4 پارامترهای واسنجی شده مدل موج
111	جدول 8-4 پارامترهای واسنجی شده مدل جریان
111	جدول 9-4 پارامترهای واسنجی شده مدل رسوب
137	جدول 1-5 نتایج پارامترهای آماری در مورد انتقال امواج در دو مدل PMO Dynamics و MIKE21
140	جدول 2-5 مشخصات موج با ارتفاع 0/5 متر
142	جدول 3-5 مشخصات موج با ارتفاع 1 متر
144	جدول 4-5 مشخصات موج با ارتفاع 1/5 متر
146	جدول 5-5 مشخصات موج با ارتفاع 2 متر
148	جدول 6-5 مشخصات موج با ارتفاع 2/5 متر
150	جدول 7-5 مشخصات موج با ارتفاع 3 متر
152	جدول 8-5 مشخصات موج با ارتفاع 3/5 متر
154	جدول 9-5 مشخصات موج با ارتفاع 4 متر
156	جدول 10-5 مقایسه آماری نتایج جریان ساحل شرقی
156	جدول 11-5 مقایسه آماری نتایج جریان ساحل غربی
165	جدول 12-5 مقایسه آماری نتایج رسوب در ساحل شرقی
165	جدول 13-5 مقایسه آماری نتایج رسوب در ساحل غربی

167	جدول 14-5 محاسبه تنش برشی یستر حاصل از نتایج دو نرم افزار
167	جدول 15-5 محاسبه تنش برشی بحرانی
168	جدول 16-5 محاسبه حجم رسوب سالیانه
174	جدول 17-5 مقایسه نتایج نرم افزار GIS و LITPACK

## فهرست شکل‌ها

صفحه	عنوان
54	شکل 3-1 نمایش ارتباط تراز آب، تراز بستر و عمق
54	شکل 3-2 نمایی کلی از شبکه محاسباتی مورد استفاده در مدل
74	شکل 3-3 الگویی از تقسیم بندی نرم افزار MIKE21
76	شکل 3-4 ارتباط مدل‌های MIKE21
97	شکل 4-1 موج شکن‌های بندر انزلی
98	شکل 4-2 گل‌موج آب عمیق 25 ساله بندر انزلی
99	شکل 4-3 درصد فراوانی ارتفاع امواج (P فراوانی نسبی درصدی).
100	شکل 4-4 توزیع فراوانی ارتفاع امواج بویهی موج نگار
101	شکل 4-5 توزیع فراوانی پریود امواج بویهی موج نگار
101	شکل 4-6 توزیع فراوانی جهت امواج بویهی موج نگار
104	شکل 4-7 ارتفاع امواج اندازه‌گیری شده توسط بویه موج نگار سازمان بنادر و کشتیرانی
104	شکل 4-8 زمان تناوب امواج اندازه‌گیری شده توسط بویه موج نگار سازمان بنادر و کشتیرانی
105	شکل 4-9 منحنی دانه بندی رسوبات بستر
106	شکل 4-10 هیدروگرافی پردازش شده محدوده بندر انزلی
108	شکل 4-11 شبکه بندی محدوده شبیه سازی شده مش 200 و ابعاد تقریبی $16^*8$ کیلومتر
109	شکل 4-12 شبکه بندی محدوده شبیه سازی شده مش 12 و ابعاد تقریبی $10^*8$
118	شکل 4-13 جانمایی خطوط در نظر گرفته شده جهت مقایسه نتایج
123	شکل 4-14 تصویر ماهواره‌ی لندست در سال 2011
123	شکل 4-15 تصویر ماهواره‌ی لندست در سال 2013
125	شکل 5-1 شرایط هیدرولیکی ناشی از شکست سد (W.H. Graf, 1998 صفحه 347)

- 125 ..... شکل 5-2 نتایج حاصل از حل عددی و تحلیلی مسئله شکست سد شماره 1
- 128 ..... شکل 5-3 شکست سد دایره ای چپ؛ تmodار سطح آب؛ راست؛ تmodار سرعت جریان
- 129 ..... شکل 5-4 نمایش سطح آب در زمان 7/2 ثانیه براساس مرجع [2]
- 129 ..... شکل 5-5 نمایش سطح آب در زمان 7/2 ثانیه براساس مدلهای حاضر
- 130 ..... شکل 5-6 مقایسه ارتفاع امواج شبیه سازی شده در PMO و داده های میدانی ADCP
- 131 ..... شکل 5-7 مقایسه پریود امواج شبیه سازی شده در PMO و داده های میدانی ADCP
- 132 ..... شکل 5-8 مقایسه ارتفاع امواج شبیه سازی شده در PMO و MIKE 21
- 132 ..... شکل 5-9 مقایسه پریود امواج شبیه سازی شده در PMO و MIKE21
- 133 ..... شکل 5-10 مقایسه ارتفاع موج شبیه سازی شده در PMO Dynamics و MIKE21 در عمق 5 متری
- 134 ..... شکل 5-11 مقایسه پریود موج شبیه سازی شده در PMO Dynamics و MIKE21 در عمق 5 متری
- 134 ..... شکل 5-12 مقایسه ارتفاع موج شبیه سازی شده در PMO Dynamics و MIKE21 در عمق 10 متری
- 135 ..... شکل 5-13 مقایسه پریود موج شبیه سازی شده در PMO Dynamics و MIKE21 در عمق 10 متری
- 135 ..... شکل 5-14 نمایش وکتور های مربوط به ارتفاع موج در شبیه سازی موج با ارتفاع 1 متر در مدل MIKE21
- 136 ..... شکل 5-15 نمایش وکتور های مربوط به ارتفاع موج در شبیه سازی موج با ارتفاع 1.5 متر در مدل MIKE21
- 136 ..... شکل 5-16 نمایش کانتور های مربوط به ارتفاع موج در شبیه سازی موج با ارتفاع 1.5 متر در مدل MIKE21
- 137 ..... شکل 5-17 نمایش کانتور های مربوط به ارتفاع موج در شبیه سازی موج با ارتفاع 1.5 متر در مدل MIKE21
- 138 ..... شکل 5-18 سرعت جریان در خطی به طول 1 کیلومتر و فاصله 3 کیلومتر از موج شکنها
- 138 ..... شکل 5-19 سرعت جریان در خطی به طول 1 کیلومتر و فاصله 2 کیلومتر از موج شکنها
- 139 ..... شکل 5-20 سرعت جریان در خطی به طول 1 کیلومتر و فاصله 1 کیلومتر از موج شکنها
- 140 ..... شکل 5-21 مقایسه سرعت جریان و عمق آب شبیه سازی شده در PMO و MIKE21 در ساحل شرقی موج 0/5 متر
- 142 ..... شکل 5-22 مقایسه سرعت جریان و عمق آب شبیه سازی شده در PMO و MIKE21 در ساحل شرقی موج 1 متر
- 143 ..... شکل 5-23 مقایسه سرعت جریان و عمق آب شبیه سازی شده در PMO و MIKE21 در ساحل غربی موج 1 متر

4 شکل 5-24 مقایسه سرعت جریان و عمق آب شبیه سازی شده در PMO و MIKE21 در ساحل شرقی موج 1/5 متر ..144

شکل 5-25 مقایسه سرعت جریان شبیه سازی شده در PMO و MIKE21 در ساحل غربی موج 1/5 متر ..145

شکل 5-26 مقایسه سرعت جریان و عمق آب شبیه سازی شده در PMO و MIKE21 در ساحل شرقی موج 2 متر ..146

شکل 5-27 مقایسه سرعت جریان و عمق آب شبیه سازی شده در PMO و MIKE21 در ساحل غربی موج 2 متر ..147

شکل 5-28 مقایسه سرعت جریان و عمق آب شبیه سازی شده در PMO و MIKE21 در ساحل شرقی موج 2/5 متر ..148

شکل 5-29 مقایسه سرعت جریان و عمق آب شبیه سازی شده در PMO و MIKE21 در ساحل غربی موج 2/5 متر ..149

شکل 5-30 مقایسه سرعت جریان و عمق آب شبیه سازی شده در PMO و MIKE21 در ساحل شرقی موج 3 متر ..150

شکل 5-31 مقایسه سرعت جریان و عمق آب شبیه سازی شده در PMO و MIKE21 در ساحل غربی موج 3 متر ..151

شکل 5-32 مقایسه سرعت جریان و عمق آب شبیه سازی شده در PMO و MIKE21 در ساحل شرقی موج 3/5 متر ..152

شکل 5-33 مقایسه سرعت جریان و عمق آب شبیه سازی شده در PMO و MIKE21 در ساحل غربی موج 3/5 متر ..153

شکل 5-34 مقایسه سرعت جریان و عمق آب شبیه سازی شده در PMO و MIKE21 در ساحل شرقی موج 4 متر ..154

شکل 5-35 مقایسه سرعت جریان و عمق آب شبیه سازی شده در PMO و MIKE21 در ساحل غربی موج 4 متر ..155

شکل 5-36 مقایسه انتقال رسو ب شبیه سازی شده در PMO و MIKE21 ساحل شرقی حاصل از موج 1 متری ..158

شکل 5-37 مقایسه انتقال رسو ب شبیه سازی شده در PMO و MIKE21 در ساحل غربی حاصل از موج 1 متری ..158

شکل 5-38 مقایسه انتقال رسو ب شبیه سازی شده در PMO و MIKE21 در ساحل شرقی حاصل از موج 1/5 متری ..159

شکل 5-39 مقایسه انتقال رسو ب شبیه سازی شده در PMO و MIKE21 در ساحل غربی حاصل از موج 1/5 متری ..159

شکل 5-40 مقایسه انتقال رسو ب شبیه سازی شده در PMO و MIKE21 در ساحل شرقی حاصل از موج 2 متری ..160

شکل 5-41 مقایسه انتقال رسو ب شبیه سازی شده در PMO و MIKE21 در ساحل غربی حاصل از موج 2 متری ..160

شکل 5-42 مقایسه انتقال رسو ب شبیه سازی شده در PMO و MIKE21 در ساحل شرقی حاصل از موج 2/5 متری ..161

شکل 5-43 مقایسه انتقال رسو ب شبیه سازی شده در PMO و MIKE21 در ساحل غربی حاصل از موج 2/5 متری ..161

شکل 5-44 مقایسه انتقال رسو ب شبیه سازی شده در PMO و MIKE21 در ساحل شرقی حاصل از موج 3 متری ..162

شکل 5-45 مقایسه انتقال رسو ب شبیه سازی شده در PMO و MIKE21 در ساحل غربی حاصل از موج 3 متری ..162

..... شکل 5-46 مقایسه انتقال رسوب شبیه سازی شده در MIKE21 و PMO در ساحل شرقی حاصل از موج 3/5 متری ..... 163
..... شکل 5-47 مقایسه انتقال رسوب شبیه سازی شده در MIKE21 و PMO در ساحل غربی حاصل از موج 3/5 متری ..... 163
..... شکل 5-48 مقایسه انتقال رسوب شبیه سازی شده در MIKE21 و PMO در ساحل شرقی حاصل از موج 4 متری ..... 164
..... شکل 5-49 مقایسه انتقال رسوب شبیه سازی شده در MIKE21 و PMO در ساحل غربی حاصل از موج 4 متری ..... 164
..... شکل 5-50 تغییرات خطوط ساحلی ..... 169
..... شکل 5-51 میزان تغییرات خط ساحل در محل موج شکنها ..... 169
..... شکل 5-52 خطوط ساحلی شرقی ..... 170
..... شکل 5-53 خطوط ساحلی غربی ..... 170
..... شکل 5-54 تراز رسوب نقاط واقع در ساحل الف- ساحل شرقی ب- ساحل غربی ..... 171
..... شکل 5-55 نمای سه بعدی ساحل الف- ساحل شرقی ب- ساحل غربی ..... 172
..... شکل 5-56 تغییرات شبیه سازی شده خط ساحل 25 سال پس از احداث موج شکن های جدید بندر انزلی ..... 173

## فصل ۱- کلیات

## 1-1 - مقدمه

سازه های دریایی به دلیل اهمیت راهبردی حمل و نقل دریایی، حجم عظیم و کیفیت بالای منابع غذایی و از همه مهم‌تر، منابع انرژی موجود در اعمق و بستر دریا از جمله کلیدی‌ترین بنها، در مجموعه ساخت و ساز کشوری می‌باشند. همچنین این سازه‌ها از گران‌ترین و پرخراج‌ترین سازه‌ها تلقی می‌شوند.

لذا جانمایی مناسب، طراحی بهینه و نگهداری درست از این سازه‌ها اهمیت فراوان دارد. دستیابی به سازه‌ای با مشخصات فوق نیاز به شناخت دقیق و عمیقی از پدیده‌ها و فرآیندهای محیطی و اثرات آن‌ها بر سازه و همچنین اثرات ساخت سازه بر این فرآیندها دارد. مهم این است که سازه ساخته شده، سازگاری مناسبی با طبیعت پیرامون خود داشته و فرآیندهای محیطی خود را کمتر دچار تغییر نماید.

بشر با احداث بنادر و سازه‌های ساحلی در حقیقت باعث تغییر در الگوی جریانات ساحلی و به تبع آن تغییر در الگوی رسوب گذاری می‌شود. واسطه جابجایی رسوبات ساحلی، مسئله رسوب گذاری سواحل و فرسایش در سواحل مطرح می‌گردد که هر یک از این پدیده‌ها، کاربری تأسیسات و سازه‌های ساخته شده در دریا را می‌تواند با مشکل مواجه نماید. مخصوصاً پدیده رسوب گذاری در کانال دسترسی و حوضچه آرامش بنادر، مشکلات زیادی را در بهره برداری از آن‌ها بوجود می‌آورد.

موج شکن‌ها سازه‌های دیواره‌ای شکلی هستند که با استهلاک انرژی امواج، حوضچه آرامشی در سمت ساحلی خود ایجاد می‌نمایند و از بنادر و سواحل در مقابل امواج و جریان‌های ساحلی محافظت می‌کنند. در آیین نامه‌ها طراحی این‌گونه سازه‌ها نیروی غالب طراحی عمدهاً نیروی امواج دریا می‌باشد. از محیط آرام ایجاد شده به وسیله بازوهای موج شکن استفاده‌های دیگری نیز می‌شود که از آن جمله می‌توان باراندازی، و باربرداری و عملکرد ایمن شناورها و نیز حفاظت از تسهیلات بندری را بر شمرد. علاوه بر موارد فوق الذکر موج شکن‌ها می‌توانند با بهبود شرایط ورودی بنادر و هدایت جریان‌های دریائی و ایجاد ترازهای متفاوت آب، روند رسوب گذاری را کنترل نمایند. دو نوع اصلی موج شکن عبارتند از: توده ای و دیواره ای. نوع توده ای خود دارای انواع متفاوتی است نظیر، سنگ طبیعی، بلوك‌های بتني و تركيبی از سنگ و بلوك‌های بتني اشكال بتني نظير تترا پاد، كواذری پاد، تريبار و ... در اين نوع مورد استفاده قرار می‌گيرند. نوع دیوارهای نیز مشتمل است بر مواردی نظير دیوار بلوك بتني وزني، صندوقه‌های بتني و سلول‌های شیت پايلی پر شده از سنگ و ... انتخاب نوع موج شکن عموماً با توجه به عوامل زیر صورت می‌گيرد:- در دسترس بود مصالح در سایت اجرای موج شکن یا نزدیکی آن - عمق آب در محل احداث موج شکن - شرایط بستر - عملکرد مورد انتظار از موج شکن در بندر - شرایط محیطی (جوی) - ماشین آلات مناسب و در دسترس برای ساخت موج شکن.

یکی از مهم‌ترین دلایل انتقال رسوب نزدیک شدن موج به ساحل می‌باشد که به علت کم شدن عمق آب، طول موج کاهش می‌یابد و به دلیل فشردگی موج، شکل موج از حالت سیونسی خارج شده و ارتفاع آن زیاد می‌شود که این امر باعث ایجاد جریان‌های ساحلی و نقل و انتقالات رسوبی در سواحل می‌شود و نیروی واردہ از موج به سازه‌های ساحلی افزایش می‌یابد. پدیده breaking یا شکست موج وقتی اتفاق